日射遮蔽シートによる屋根の遮熱効果予測手法に関する研究 (その1)日射遮蔽シート・屋根・天井間の熱移動解析

正会員〇相馬 真子*¹ 同 山中 俊夫*² 同 LIM EUNSU*³ 同 甲谷 寿史*⁴ 同 桃井 良尚*⁵ 同 相良 和伸*⁶

4. 環境工学 -8. 遮熱

日射遮蔽 折板屋根 熱移動解析

1. はじめに

近年、環境負荷低減に向け、省エネルギーに対する 関心も高い。冷暖房設備に頼った室内環境制御だけでは なく、建物内への熱負荷を削減し、室内を快適に保つ上 で建物の遮熱性能評価が重要視されており、建物外表面 での日射遮蔽が極めて重要となる。そこで本研究では、 金属製折板屋根の上に日射遮蔽シート(以下、遮蔽シート)を施工し、太陽の直射光を遮ることによる空調負荷 削減効果と室内の温熱環境の快適性向上効果を検証し、 遮蔽シートによるこれらの効果を定量的に予測する手 法の開発を行うことを目的としている。本報では、遮蔽 シート下部空間での換気による排熱量を考慮し、間接放 射計算による屋根と天井間の熱移動解析モデルの構築を 行い、実測結果との比較によるモデルの精度検証を行っ た結果について報告する。

2. 日射遮蔽シート敷設建物

2.1 遮蔽シートの概要

評価対象の遮蔽シートは幅 30cm の帯状で、シート間の隙間からの通気によりシートと屋根間に停滞しやすい高温



図1 遮蔽シート施工例

空気の除去が促進されると考えられる。遮蔽シートは黒色ポリエチレン樹脂織物で、シートの上面はステンレス蒸着が施されている。遮蔽シートの施工例を図1に示す。

2.2 測定概要

測定は2010年5月19日~2011年2月28日(うち2010年7月29日-8月9日は遮蔽シートなし)において、金属製屋根(大阪市東成区4階建て建物屋上の建屋)に遮蔽シートを施工して行った。建物の平面図と断面図を図2、3に示す。水平面全天日射量、外気の風向・風速を10分間隔で、室内外温度・湿度を5分間隔で、流入熱流量を1分間隔で測定した。

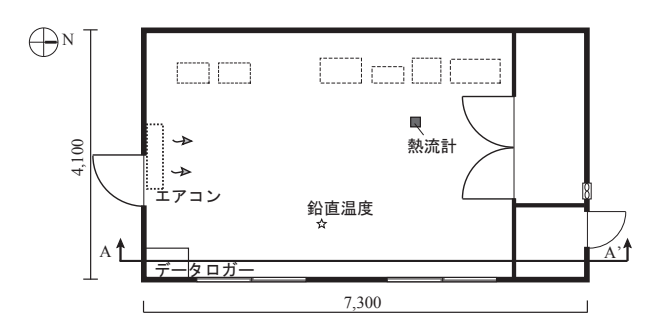


図2 対象建物の平面図(単位:[mm])

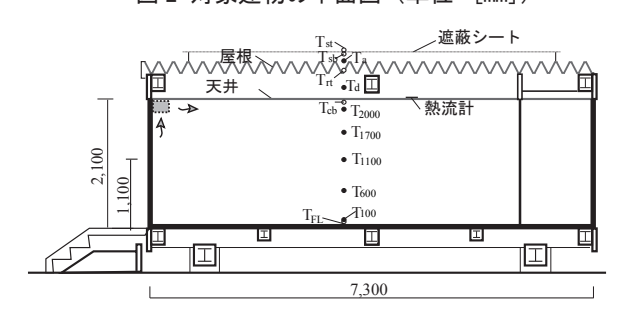
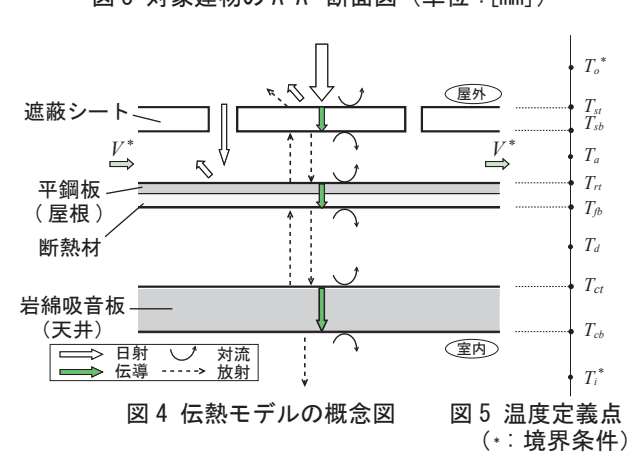


図3 対象建物の A-A' 断面図(単位:[mm])



3. 遮蔽シート敷設屋根の定常伝熱モデル

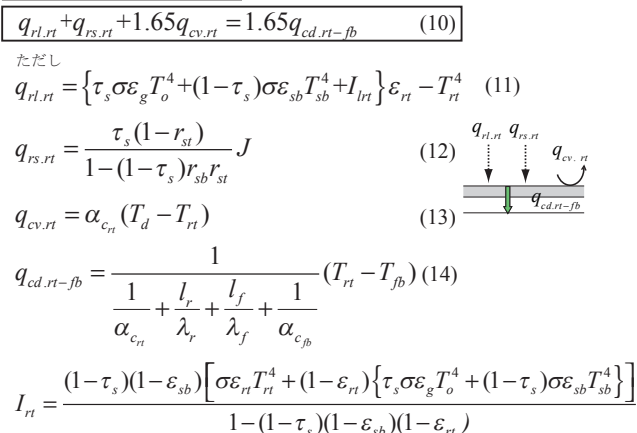
3.1 解析概要

外気⇔遮蔽シート⇔鋼板屋根⇔天井を通る熱移動と 遮蔽シートの下部空間(以下、シート下部空間)の水平 方向の換気及びシート間の隙間を通しての上下方向の換 気による排熱量を考慮しモデルを構築した。遮蔽シート 敷設時の屋根と天井間における熱移動解析は、実測を

Prediction Method of Shielding Effect of Sunshade Sheets over Roof Part1. Analysis of Heat Transfer through Sunshade Sheets, Roof and Ceiling

遮蔽シート上面の熱収支式 $q_{ss.st} + q_{rl.st} + q_{cv.st} = q_{cd.st-sb}$ (1) $q_{ss,st} = A_{st}(1 - \tau_s)J$ (2) $q_{rl,st} = (\sigma \varepsilon_g T_o^4 \varepsilon_{st} - \sigma \varepsilon_{st} T_{st}^4) (1 - \tau_s)$ $q_{cv.st} = \alpha_{c_{st}} (T_o - T_{st})(1 - \tau_s)$ $q_{cd.st-sb} = \frac{\lambda_s}{l} (T_{st} - T_{sb})(1 - \tau_s)$ (5) 遮蔽シート下面の熱収支式 (6) $q_{cd.st-sb} = q_{rl.sb} + q_{cv.sb} + q_{rs.sb}$ $q_{rl,sb} = (1 - \tau_s)\sigma\varepsilon_{sb}T_{sb}^4 - (\sigma\varepsilon_{sb}T_{sb}^4 + I_{lsb})(1 - \tau_s)\varepsilon_{sb}$ (7) $q_{cv.sb} = \alpha_{c_{sb}} (T_{sb} - T_a)(1 - \tau_s)$ $q_{rs.sb} = -\frac{(1 - \tau_s)(1 - r_{sb})r_{rt}\tau_s}{1 - (1 - \tau_s)r_{cb}r_{rt}}J$

屋根上面の熱収支式



 $I_{sb} = \frac{(1 - \varepsilon_n) \left\{ \tau_s \sigma \varepsilon_g T_o^4 + (1 - \tau_s) \sigma \varepsilon_{sb} T_{sb}^4 + (1 - \tau_s) (1 - \varepsilon_{sb}) \sigma \varepsilon_n T_{rt}^4 \right\}}{1 - (1 - \tau_s) (1 - \varepsilon_{sb}) (1 - \varepsilon_{rt})}$

行った対象建物において、遮蔽シートを平鋼板屋根上に 敷設する条件と敷設しない条件で行った。

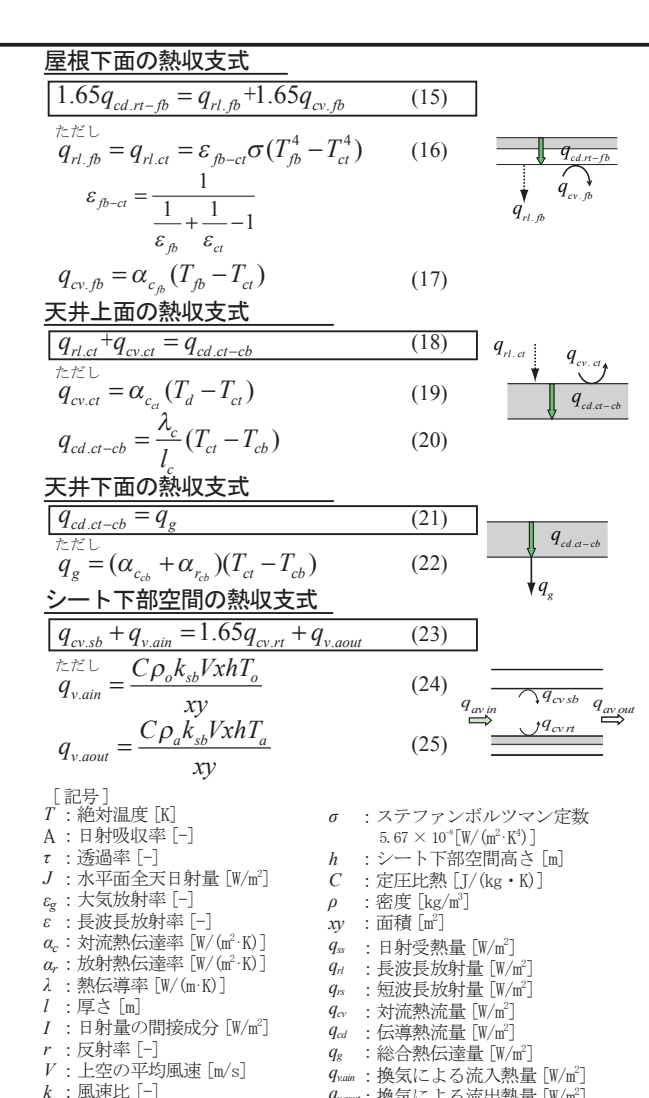
遮蔽シートから室内への伝熱モデル概念図を図4に、 温度定義点位置を図5に示す。遮蔽シート上面における 大気からの流入熱量は、図4に示した各面での伝導、対 流、放射現象によって室内へ伝わる。

3.2 各面での熱収支式

各面における熱収支式を式(1)~(22)に示す。各 面での単位面積あたりの流入熱量は、上から下を正とし て定義した。遮蔽シートはメッシュシート製により通気 性を有するため、シートとシートの隙間からの透過分も 含めた透過率(な)を考慮し、モデル化を行った。

遮蔽シート上面での熱収支式を式(1)~(5)に示す。 日射、対流、放射によって遮蔽シートへ熱が伝わる。大 気放射率 ε_g は、Brunt の式 1) ($\varepsilon_g = 0.526 + 0.076\sqrt{f}$

f:地表付近の空気の水蒸気分圧 [mmHg]) により評価



する。遮蔽シート上下面及び平鋼板(以下、屋根)上面 の対流熱伝達率は、ユルゲスの式 (普通面 $\alpha_{c_m}=5.8+3.9k_mV$

d : 岩綿吸音板裏空間 c : 岩綿吸音板

qvaout:換気による流出熱量 [W/m²]

mt:mの上面

(V≤5[m/s])) より算出した。遮蔽シート下面の熱収支を 式(6)~(9)に、屋根上下面の熱収支を式(10)~(14) に示す。シート下面と屋根上面の放射は、シートの隙間 から屋根に入射する大気放射とシートの隙間から侵入し た日射によるシートと屋根間での反射、吸収による放射 熱移動を考慮し、式 (7) と (9)、式 (11) ~ (12) を導いた。 屋根及び断熱材における伝導と対流の熱移動量には、屋 根面積に対する折板屋根の表面積比1.65を乗じた。

3.3シート下部空間の熱収支式

「添え字]

: 平鋼板裏空間

換気による熱移動の熱収支を式(23)~(25)に示す。 シート下部空間において、シートと屋根間の水平方向の 換気、シート間の隙間を通しての上下方向の換気による 排熱量を考慮し、シートと屋根間の換気をモデル化した (図 6)。尚、シート下部空間の高さ(h) はシートと折板 屋根間の山谷 の高さを平均 した 0.145[m]

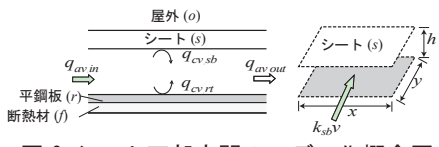


図6 シート下部空間のモデル化概念図

3.4 解析条件

とした。

計算で用いた物性値を表 1 に示す。外気温 (T_o) と室温 (T_i) 、風速 (V) は、境界条件として実測値を与え、遮蔽シート上面 (T_{st}) から岩綿吸音板 (以下、天井) の下面 (T_{tt}) までの温度を求めた。

表 1 伝熱モデルの各変数に与える値

0 >	$\alpha_{c_{st}} = f(k_{st}V)$	$A_{st} = 0.90$	$\varepsilon_{st} = 0.83$	
$s \longrightarrow$	$\lambda_s = 0.3$	$l_s = 0.0008$	$\tau_s = 0.021$	6
a	$\alpha_{c_{sb}} = f(k_{sb}V)$	$A_{sb} = 0.93$		$r_{sb} = 0.05$
$r \rightarrow$	$\alpha_{c_{rt}} = f(k_{rt}V)$	$A_{rt} = 0.90$	$\mathcal{E}_{rt} = 0.90$	$r_{rb} = 0.20$
<u> </u>	$\lambda_r = 45$	$l_r = 0.0008$		
<i>f</i> >	$\lambda_f = 0.04$	$l_f = 0.002$		
$d \longrightarrow$	$\alpha_{c_{fb}} = 4.4$	<i>Efb</i> =0.90		
─	$\alpha_{c_{ct}} = 4.4$	$\varepsilon_{ct} = 0.90$	「*注	
<i>c</i>	$\lambda_c = 0.21$	$l_c = 0.009$	$f(V): \exists$	Lルゲスの式
$\overline{}$	$\alpha_{c_{cb}}=4.4$	$\alpha_{r_{cb}}=4.7$		

4. 定常伝熱モデルの精度検証

モデルを構築 し、精度検証を 行うため、実測 結果と比較した。

衣 2 快討ケース				
	遮蔽シート	実測条件の代表日		
caseS	有	2010年8月15日		
caseN1	4111	2010年8月1日		
caseN2	無	2010年8月15日		

検討ケースを表 2 に示す。遮蔽シートを敷設する条件と敷設しない条件での測定期間中、快晴日で外気条件が最も近い日を代表日とし、その結果を計算結果と比較した。計算に用いた外気条件は、水平面全天日射量、外気温、相対湿度、風速の測定値(10 分平均値)である。

今回、便宜的に 8 月 15 日の鉛直温度分布の実測結果と計算結果の誤差が小さい遮蔽シート上下部の局所風速を検討し、対流熱伝達率 $(\alpha_{c_s}, \alpha_{c_s})$ を求めた。遮蔽シート上下部の局所風速は上空風速に対する風速比で表し、風速比を上空風速に乗じて対流熱伝達率を求めた。従って、上下面における局所風速は、遮蔽シート上部においては風速比 (k_{st}) 1.0 を、シート下部空間においては風速比 (k_{st}) 0.05 を用いた(表 1)。尚、caseN1 とcaseN2 では屋根上部の局所風速に風速比 1.0 を用いた。

屋根下面の断熱材について、実際の施工図面での厚さ (I_f=0.015[m]) を用いると、計算上断熱効果が大きく見積もられてしまう傾向にあった。これは、吹付け断熱材の時間経過による剥離や天井裏空間の熱橋等不明な熱流が原因していると考えられる。よって、これらの要因は、断熱材の厚さを小さくすることにより考慮するこ

ととした。今回の計算では、断熱材厚さを l_{r} =0.002[m](表 1) として計算を行った。

4.1 一日の時系列温度変化

caseS の条件における一日の各部温度の時系列変化を 図7に、caseN1 の各部温度の時系列変化を図8に示す。 両条件ともに、全体的に計算結果は実測結果と概ね一致 していることがわかる。

実測結果の図 7-(1)及び図 8-(1)より屋根上面温度 (T_n) について、12 時前後に、遮蔽シートを敷設する条件 (caseN1)では約 40°Cで、遮蔽シートを敷設しない条件 (caseN1)の約 60°Cより約 20°C低い。一方、計算結果の図 7-(2)、図 8-(2)より 12 時前後の屋根上面温度は、caseS で約 45°Cと、caseN1 の約 55°Cに比べて約 10°C低い。遮蔽シート敷設時の屋根上面温度低減効果は計算により再現できたが、シートなしの屋根上面温度の計算結果は実測結果に比べ低い温度を示していた。これは、実測では折板屋根の谷の部分の屋根上面温度を測定しているため、局所的には屋根面からの放射や対流が小さくなったことが原因の一つであると考えられる。

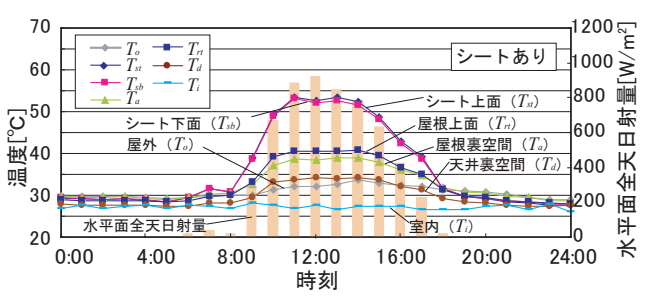
夜間の0時~6時、18時~0時の時間において、実 測値及び計算値ともに、屋根上面温度はシートのない caseNIがシートのある caseS より低くなっている。これ は、夜間の天空への放射が遮蔽シートにより遮られるた めであると考えられる。遮蔽シートの省エネルギー性を 評価する際には夏期の昼間及び冬期の夜間における空調 負荷削減効果だけではなく、夏期の夜間と冬期の昼間に おける負荷増大効果についても考慮に入れる必要がある と言うことができる。

4.2室内への流入熱量

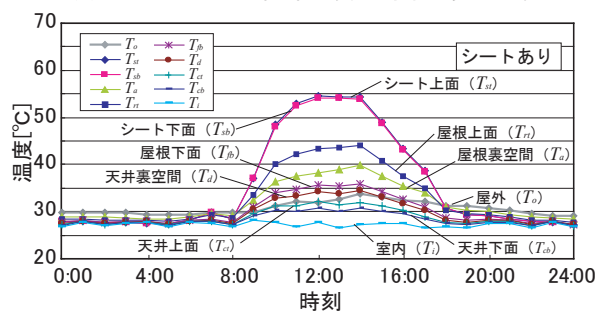
天井から室内への流入熱量(図7-(3)、図8-(3))を比較すると、計算値は実測値とほぼ一致する結果となった。日中、実測値と計算値ともに、caseSの方がcaseN1より最大約30[W/m²]低い。日射遮蔽シートによる屋根面への直達日射量の低減により、室内への流入熱量が低減されたと考えられる。一方、夜間の0時~6時においては、caseN1では実測値、計算値ともに室内から室外への流出熱量が見られるものの、caseSでは見られず、夜間の保温効果が計算でも再現できた。

4.3 鉛直温度分布

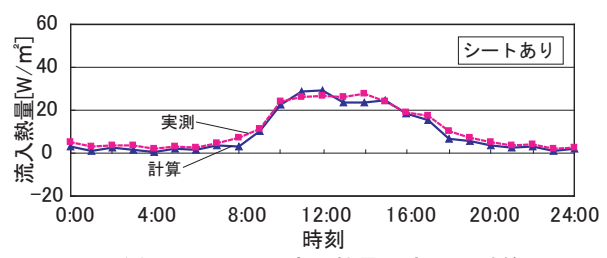
同じ外気条件で遮蔽シート有無による計算結果を比較するため、8月15日の外気条件でcaseSとcaseN2の条







(2) 各部温度の時系列変化 (計算)



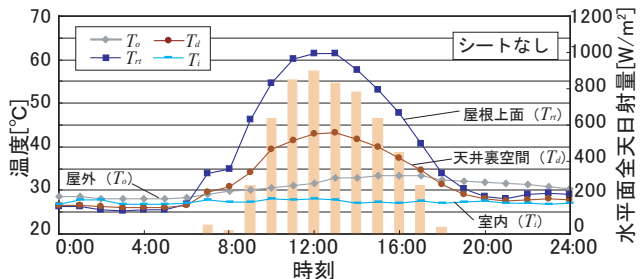
(3) 天井からの流入熱量 (実測・計算)

図7 実測及び計算結果 (caseS, 2010 年 8 月 15 日)

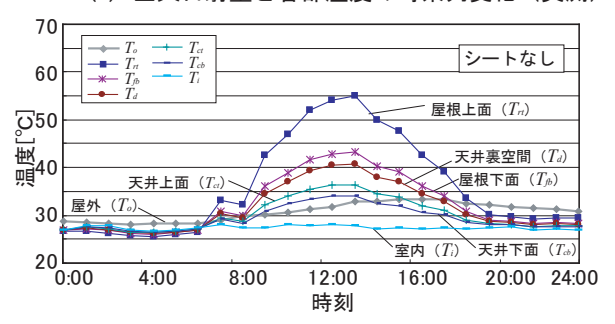
件で計算した鉛直温度分布の結果を図9に示す。日中、 屋根上面温度 (T_n) から下部の温度は、caseS の方が温 度が低く抑えられている。日射の影響を受ける昼間には、 シート有無による差が大きいことがわかる。12時には、 屋根上面温度について、caseSが caseN2より約7℃低い 結果となった。20時は屋根上面温度にほとんど差異は ないが、caseSより caseN2 がやや低く、日中と逆転した。

5. まとめ

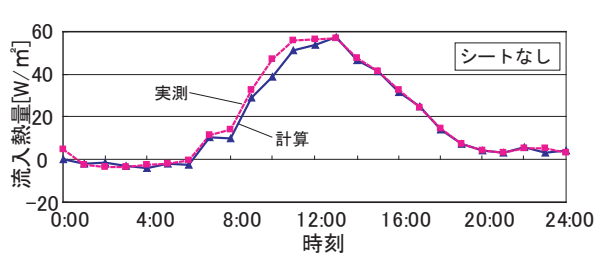
日射遮蔽シートを敷設した建物の遮熱性能評価を行 うため伝熱モデルを構築し、精度検証を行った。計算 の結果、遮蔽シート上面から天井下面までの温度は、 実測結果と概ね一致した。また、室内への流入熱量も 実測値とほぼ一致した。日射遮蔽シートにより、昼間 には天井からの流入熱量の大幅な低減が期待できるこ とがわかった。ただし、夜間には天空への放射が遮ら れるため、屋根面が若干冷えにくいことがわかった。



(1) 全天日射量と各部温度の時系列変化(実測)



(2) 各部温度の時系列変化 (計算)



(3) 天井からの流入熱量 (実測・計算)

図8 実測及び計算結果 (caseN1, 2010 年8月1日)

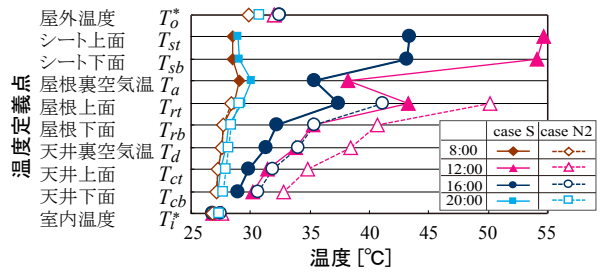


図 9 鉛直温度分布 (計算 caseS, caseN2, 2010 年 8 月 15 日)

今後は、各熱容量を考慮して伝熱モデルの精度向上を 図った上で非定常解析を行い、様々な要因が遮熱効果 に及ぼす影響を明らかにするとともに年間の熱負荷削 減効果についても検討を行う所存である。

参考文献

- 1) 田中他: 最新建築環境工学,井上書院,2006.03 2) 安積他: 屋根用外遮熱シートの暖冷房負荷計算による遮熱性能評価,GBRC,vol. 35,No.4,pp.28-35,2010.10 3) 白石他:対流・放射連成解析による通気層を有する二重屋根
- の遮熱特性に関する検討,日本建築学会計画系論文集,vol.55
- 6,pp. 23-29, 2002. 06 4) 戸河里他:大空間における上下温度分布の予測モデル,日本 建築学会計画系論文集, vol. 427, pp. 9-19, 1991. 09

付記 本研究の一部は、日本ワイドクロス株式会社からの委託によるものである。

Graduate Student, Division of Global Architecture, Graduate School of Engineering, Osaka University

^{*1}大阪大学大学院工学研究科地球総合工学専攻 *2大阪大学大学院工学研究科地球総合工学専攻

博士前期課程 教授・博士 (工学) *3大阪大学大学院工学研究科地球総合工学専攻 特任研究員

^{*4}大阪大学大学院工学研究科地球総合工学専攻*5大阪大学大学院工学研究科地球総合工学専攻 *6大阪大学大学院工学研究科地球総合工学専攻

熱収支式

$$q_{rl.sb} = (1 - \tau_s)\sigma\varepsilon_{sb}T_{sb}^4 - (\sigma\varepsilon_{rr}T_{rr}^4 + I_{sb})(1 - \tau_s)\varepsilon_{sb}$$
 (7)

$$q_{rl,rt} = \left\{ \tau_s \sigma \varepsilon_g T_o^4 + (1 - \tau_s) \sigma \varepsilon_{sb} T_{sb}^4 + I_{ro} \right\} \varepsilon_{rt} - \sigma \varepsilon_{rt} T_{rt}^4$$
 (11)

$$q_{rs.rt} = \frac{\tau_s (1 - r_u)}{1 - (1 - \tau_s) r_{sb} r_{rt}} J$$
(12)

$$q_{cv,rt} = \alpha_{c_{rt}} (T_{\underline{a}} - T_{rt})$$

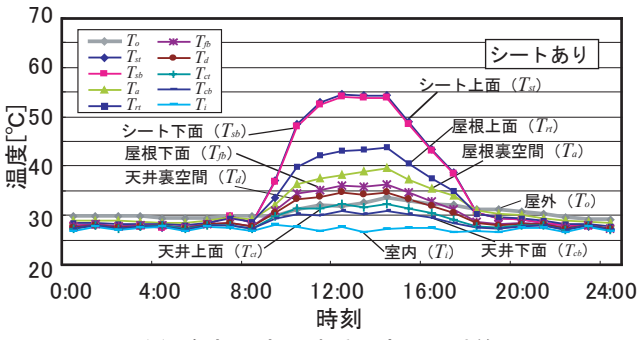
$$\tag{13}$$

$$q_{cd.rt-fb} = \frac{1}{\underbrace{\frac{l_r}{\lambda_r} + \frac{l_f}{\lambda_f}}} (T_{rt} - T_{fb})$$
(14)

$$q_{cv.fb} = \alpha_{c_{fb}} (T_{fb} - T_{\overline{d}})$$

$$\tag{17}$$

$$q_g = (\alpha_{c_{cb}} + \alpha_{r_{cb}})(T_{cb} - T_{c})$$
 (22)



(2) 各部温度の時系列変化(計算)

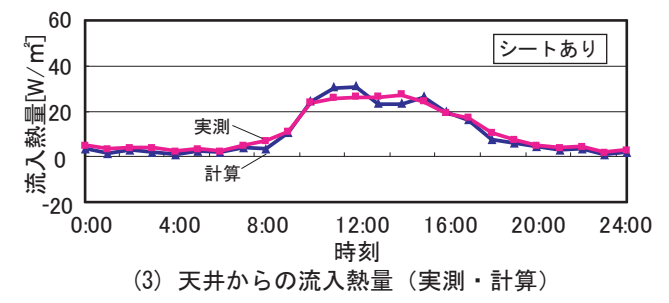
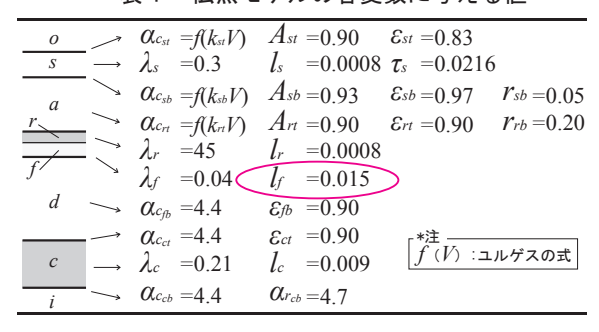
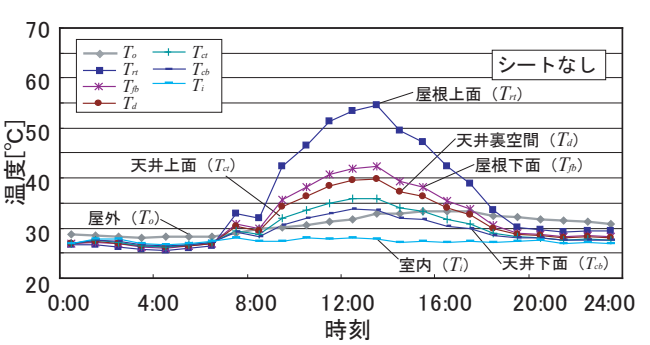


図7 実測及び計算結果 (caseS, 2010年8月15日)

表 1 伝熱モデルの各変数に与える値



*訂正箇所を○で囲む



(2) 各部温度の時系列変化(計算)

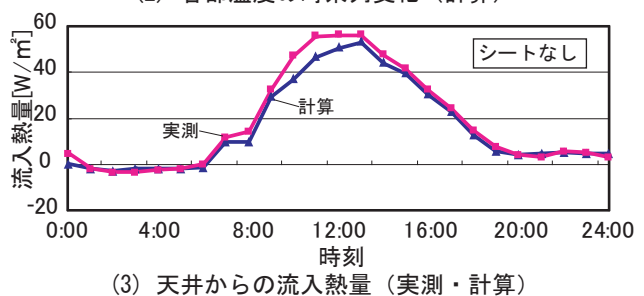


図8 実測及び計算結果 (caseN1, 2010 年8月1日)

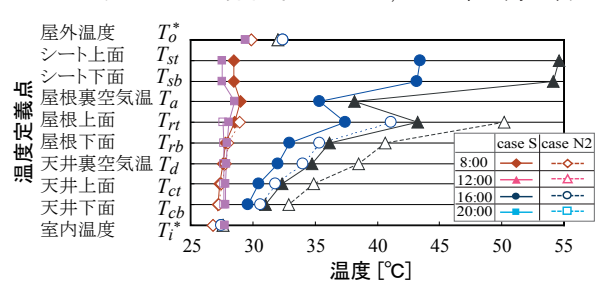


図 9 鉛直温度分布 (計算 caseS, caseN2, 2010 年 8 月 15 日)